

Starkniederschlagshöhen und -spenden gemäß KOSTRA-DWD-2020

Rasterfeld 140135

(Zeile 140, Spalte 135)

Regenspende und Bemessungsniederschlagswerte in Abhängigkeit von Wiederkehrzeit T und Dauerstufe D

| Dauerstufe D | | Wiederkehrzeit T | | | | | | | | | | | | | | | | | |
|--------------|-----|------------------|------------|------|------------|------|------------|------|------------|-------|------------|-------|------------|-------|------------|-------|------------|-------|------------|
| | | 1 a | | 2 a | | 3 a | | 5 a | | 10 a | | 20 a | | 30 a | | 50 a | | 100 a | |
| min | Std | mm | l / (s ha) | mm | l / (s ha) | mm | l / (s ha) | mm | l / (s ha) | mm | l / (s ha) | mm | l / (s ha) | mm | l / (s ha) | mm | l / (s ha) | mm | l / (s ha) |
| 5 | | 5,9 | 196,7 | 7,4 | 246,7 | 8,3 | 276,7 | 9,5 | 316,7 | 11,3 | 376,7 | 13,1 | 436,7 | 14,3 | 476,7 | 15,8 | 526,7 | 18,0 | 600,0 |
| 10 | | 8,2 | 136,7 | 10,3 | 171,7 | 11,5 | 191,7 | 13,2 | 220,0 | 15,6 | 260,0 | 18,1 | 301,7 | 19,8 | 330,0 | 21,9 | 365,0 | 25,0 | 416,7 |
| 15 | | 9,6 | 106,7 | 12,0 | 133,3 | 13,5 | 150,0 | 15,5 | 172,2 | 18,3 | 203,3 | 21,3 | 236,7 | 23,2 | 257,8 | 25,7 | 285,6 | 29,3 | 325,6 |
| 20 | | 10,7 | 89,2 | 13,3 | 110,8 | 15,0 | 125,0 | 17,2 | 143,3 | 20,3 | 169,2 | 23,6 | 196,7 | 25,7 | 214,2 | 28,5 | 237,5 | 32,5 | 270,8 |
| 30 | | 12,2 | 67,8 | 15,3 | 85,0 | 17,2 | 95,6 | 19,7 | 109,4 | 23,3 | 129,4 | 27,0 | 150,0 | 29,4 | 163,3 | 32,6 | 181,1 | 37,2 | 206,7 |
| 45 | | 13,8 | 51,1 | 17,3 | 64,1 | 19,5 | 72,2 | 22,3 | 82,6 | 26,4 | 97,8 | 30,6 | 113,3 | 33,3 | 123,3 | 36,9 | 136,7 | 42,1 | 155,9 |
| 60 | 1 | 15,0 | 41,7 | 18,8 | 52,2 | 21,2 | 58,9 | 24,3 | 67,5 | 28,7 | 79,7 | 33,3 | 92,5 | 36,3 | 100,8 | 40,2 | 111,7 | 45,8 | 127,2 |
| 90 | 1,5 | 16,9 | 31,3 | 21,1 | 39,1 | 23,7 | 43,9 | 27,2 | 50,4 | 32,2 | 59,6 | 37,3 | 69,1 | 40,7 | 75,4 | 45,1 | 83,5 | 51,4 | 95,2 |
| 120 | 2 | 18,2 | 25,3 | 22,8 | 31,7 | 25,7 | 35,7 | 29,4 | 40,8 | 34,8 | 48,3 | 40,4 | 56,1 | 44,0 | 61,1 | 48,8 | 67,8 | 55,6 | 77,2 |
| 180 | 3 | 20,3 | 18,8 | 25,5 | 23,6 | 28,7 | 26,6 | 32,8 | 30,4 | 38,8 | 35,9 | 45,0 | 41,7 | 49,1 | 45,5 | 54,4 | 50,4 | 62,0 | 57,4 |
| 240 | 4 | 22,0 | 15,3 | 27,5 | 19,1 | 30,9 | 21,5 | 35,4 | 24,6 | 41,9 | 29,1 | 48,6 | 33,8 | 53,0 | 36,8 | 58,7 | 40,8 | 66,9 | 46,5 |
| 360 | 6 | 24,4 | 11,3 | 30,6 | 14,2 | 34,4 | 15,9 | 39,4 | 18,2 | 46,6 | 21,6 | 54,0 | 25,0 | 58,9 | 27,3 | 65,3 | 30,2 | 74,4 | 34,4 |
| 540 | 9 | 27,1 | 8,4 | 34,0 | 10,5 | 38,2 | 11,8 | 43,8 | 13,5 | 51,8 | 16,0 | 60,0 | 18,5 | 65,4 | 20,2 | 72,5 | 22,4 | 82,7 | 25,5 |
| 720 | 12 | 29,2 | 6,8 | 36,6 | 8,5 | 41,1 | 9,5 | 47,1 | 10,9 | 55,8 | 12,9 | 64,6 | 15,0 | 70,5 | 16,3 | 78,1 | 18,1 | 89,0 | 20,6 |
| 1080 | 18 | 32,4 | 5,0 | 40,6 | 6,3 | 45,7 | 7,1 | 52,3 | 8,1 | 61,9 | 9,6 | 71,7 | 11,1 | 78,2 | 12,1 | 86,7 | 13,4 | 98,8 | 15,2 |
| 1440 | 24 | 34,9 | 4,0 | 43,7 | 5,1 | 49,1 | 5,7 | 56,3 | 6,5 | 66,6 | 7,7 | 77,2 | 8,9 | 84,2 | 9,7 | 93,3 | 10,8 | 106,4 | 12,3 |
| 2880 | 48 | 41,7 | 2,4 | 52,2 | 3,0 | 58,7 | 3,4 | 67,2 | 3,9 | 79,5 | 4,6 | 92,2 | 5,3 | 100,5 | 5,8 | 111,4 | 6,4 | 127,0 | 7,3 |
| 4320 | 72 | 46,2 | 1,8 | 57,9 | 2,2 | 65,1 | 2,5 | 74,6 | 2,9 | 88,2 | 3,4 | 102,3 | 3,9 | 111,5 | 4,3 | 123,6 | 4,8 | 140,9 | 5,4 |
| 5760 | 96 | 49,7 | 1,4 | 62,3 | 1,8 | 70,0 | 2,0 | 80,2 | 2,3 | 94,9 | 2,7 | 110,1 | 3,2 | 120,0 | 3,5 | 133,0 | 3,8 | 151,6 | 4,4 |
| 7200 | 120 | 52,7 | 1,2 | 65,9 | 1,5 | 74,1 | 1,7 | 84,9 | 2,0 | 100,5 | 2,3 | 116,5 | 2,7 | 127,0 | 2,9 | 140,8 | 3,3 | 160,5 | 3,7 |
| 8640 | 144 | 55,2 | 1,1 | 69,1 | 1,3 | 77,7 | 1,5 | 89,0 | 1,7 | 105,3 | 2,0 | 122,0 | 2,4 | 133,0 | 2,6 | 147,4 | 2,8 | 168,1 | 3,2 |
| 10080 | 168 | 57,4 | 0,9 | 71,8 | 1,2 | 80,8 | 1,3 | 92,5 | 1,5 | 109,5 | 1,8 | 126,9 | 2,1 | 138,4 | 2,3 | 153,4 | 2,5 | 174,8 | 2,9 |

Starkniederschlagshöhen und -spenden gemäß KOSTRA-DWD-2020

Rasterfeld 140135

(Zeile 140, Spalte 135)

Örtliche Unsicherheiten in Abhängigkeit von Wiederkehrzeit T und Dauerstufe D

| Dauerstufe D | | Wiederkehrzeit T | | | | | | | | |
|--------------|-----|------------------|-----|-----|-----|------|------|------|------|-------|
| | | 1 a | 2 a | 3 a | 5 a | 10 a | 20 a | 30 a | 50 a | 100 a |
| min | Std | ± % | ± % | ± % | ± % | ± % | ± % | ± % | ± % | ± % |
| 5 | | 12 | 12 | 12 | 12 | 12 | 13 | 13 | 13 | 14 |
| 10 | | 11 | 13 | 14 | 15 | 16 | 17 | 17 | 18 | 18 |
| 15 | | 13 | 15 | 16 | 17 | 19 | 19 | 20 | 20 | 21 |
| 20 | | 15 | 17 | 18 | 19 | 20 | 21 | 22 | 22 | 23 |
| 30 | | 16 | 19 | 20 | 21 | 22 | 23 | 23 | 24 | 25 |
| 45 | | 17 | 19 | 21 | 22 | 23 | 24 | 24 | 25 | 26 |
| 60 | 1 | 17 | 20 | 21 | 22 | 23 | 24 | 25 | 25 | 26 |
| 90 | 1,5 | 17 | 19 | 21 | 22 | 23 | 24 | 25 | 25 | 26 |
| 120 | 2 | 17 | 19 | 20 | 21 | 23 | 24 | 24 | 25 | 25 |
| 180 | 3 | 16 | 18 | 20 | 21 | 22 | 23 | 23 | 24 | 25 |
| 240 | 4 | 16 | 18 | 19 | 20 | 21 | 22 | 23 | 23 | 24 |
| 360 | 6 | 15 | 17 | 18 | 19 | 20 | 21 | 22 | 22 | 23 |
| 540 | 9 | 14 | 16 | 17 | 18 | 19 | 20 | 21 | 21 | 22 |
| 720 | 12 | 14 | 15 | 16 | 17 | 19 | 19 | 20 | 20 | 21 |
| 1080 | 18 | 13 | 15 | 16 | 17 | 18 | 18 | 19 | 19 | 20 |
| 1440 | 24 | 13 | 15 | 15 | 16 | 17 | 18 | 18 | 19 | 19 |
| 2880 | 48 | 14 | 14 | 15 | 16 | 16 | 17 | 17 | 18 | 18 |
| 4320 | 72 | 15 | 15 | 15 | 16 | 16 | 17 | 17 | 17 | 18 |
| 5760 | 96 | 15 | 15 | 16 | 16 | 16 | 17 | 17 | 17 | 18 |
| 7200 | 120 | 16 | 16 | 16 | 16 | 17 | 17 | 17 | 17 | 18 |
| 8640 | 144 | 17 | 16 | 16 | 16 | 17 | 17 | 17 | 18 | 18 |
| 10080 | 168 | 17 | 17 | 17 | 17 | 17 | 17 | 17 | 18 | 18 |

Parameter für abweichende T und D

Lokationsparameter ξ (Xi)

15,57479108

Skalenparameter α (Alpha)

5,45350353

Formparameter κ (Kappa)

-0,1

1. Koutsoyiannis-Parameter θ (Theta)

0,04721564

2. Koutsoyiannis-Parameter η (Eta)

0,74535032

Parameter für dauerstufenübergreifende Extremwertschätzung nach KOUTSOYIANNIS et al. 1998.

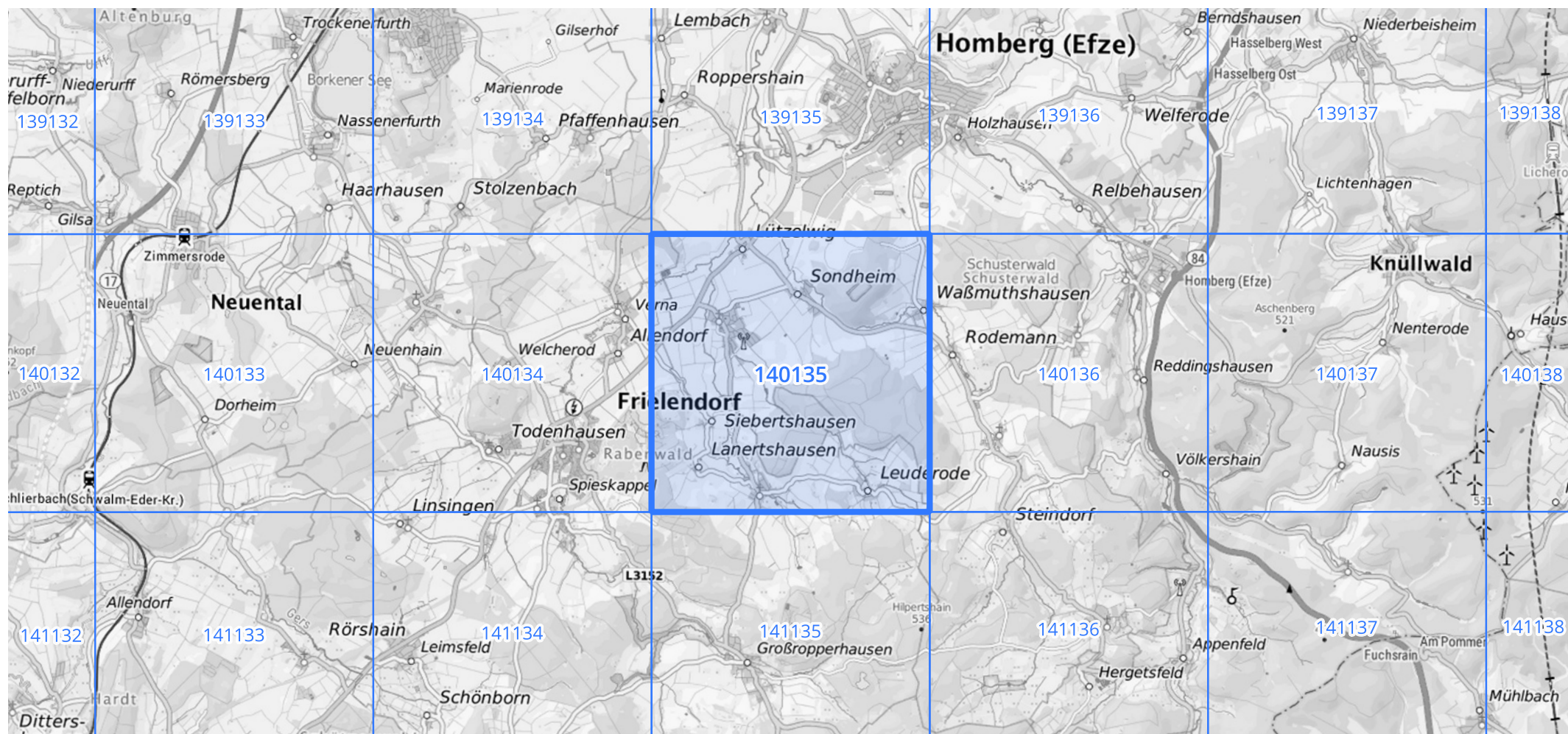
Siehe auch Anwendungshilfe zu KOSTRA-DWD-2020 des Deutschen Wetterdienstes.

Starkniederschlagshöhen und -spenden gemäß KOSTRA-DWD-2020

Rasterfeld 140135

(Zeile 140, Spalte 135)

Übersichtskarte des Rasterfeldes 140135, M 1 : 100 000



Quelle Rasterdaten: KOSTRA-DWD-2020 des Deutschen Wetterdienstes, Stand 12/2022.

Seite 3 von 3

Kartendarstellung: © Bundesamt für Kartographie und Geodäsie (2023), Datenquellen: https://sgx.geodatenzentrum.de/web_public/gdz/datenquellen/Datenquellen_TopPlusOpen.html

Für die Richtigkeit und Aktualität der Angaben wird keine Gewähr übernommen. Erstellt 01/2023.